

Ing.Josef M á l e k
Ústav geologie a geotechniky ČSAV

Fotoelasticimetrická analýza napjatosti diskontinuálních horninových systémů v okolí kruhového důlního díla

ÚVOD

Mesivy skalních hornin nepovažujeme v souladu s mnohými studiemi – až na výjimečné případy – za spojité tělesa (kontinua), ale právě naopak za pevná tělesa, pozůstávající z variabilních shluků bloků více nebo méně oddělených diskontinuálnimi plochami. Teorie i praxe se dnes plně shoduje v tom, že pevnost i deformace horského mesivu jsou závislé mnohem více na geologické povaze ploch, než na vlastnostech horninových elementů. K prohloubení znalosti o skutečné pevnosti a deformovatelnosti horninového diskontinuálního prostředí, které jsou pro potřeby báňského průmyslu a inženýrského stavitelství nezbytné, výrazným způsobem přispěly i geomechanické modelové zkoušky na mechanických modelech z ekvivalentního nebo opticky citlivého materiálu. Sem patří zejména práce Kuzněcova, Fumagalliho, Müllera, Johns a mnoha jiných. Otázku základních mechanizmů blokových soustav zkoumal např. Chappel, Goodman a Hofmann – (práce těchto autorů jsou uvedeny v /1/). Výzkumem přenosu nemáhání přes horninové diskontinuity neopticky citlivých modelech jsme se zabývali i v našem ústavu /1/, /2/.

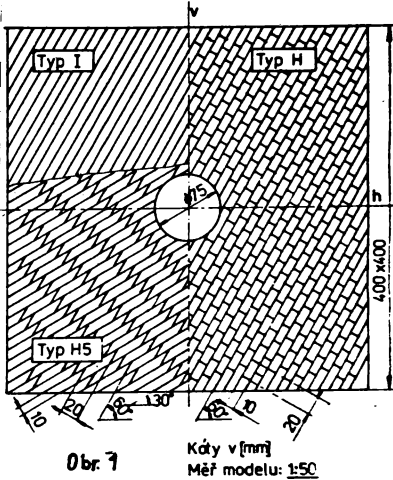
V příspěvku jsou uvedeny některé výsledky posledních experimentů, týkající se mechanického chování a napjatosti diskontinuálních systémů I, H a H5 (dle IBG – /3/) v okolí kruhového důlního díla. Cílem bylo určení změn regulárního charakteru napjatosti a její kvalitativní parametry v okolí důlního díla, raženého v těchto horninových systémech.

MODELOVÁNÍ

K řešení problému byla použita modelová metoda fotoelastickometrická s využitím zmrzavací metodiky. Podkladem pro řešení byl návrh vypracovaný IBG /3/, který na základě tvaru bloků, omezených trhlinami a jejich orientace v zemské kůře vyčleňuje několik základních horninových systémů nejčastěji se vyskytujících. Při modelování schematizovaných typů I, H a H5 jsme vycházeli z toho, že deformační stav v přírodě můžeme reprodukovat, slespoň v prvním přibližení, na roviných modelech, složených z jednotlivých opticky citlivých elementů určitého systému. Takovýto model odpovídá diskontinuitám s nepříznivými vlastnostmi složení (mezi jinými plná a široká trhlinost) jako kontrast ke kontinuálnímu systému. U důlního díla se předpokládala dostatečná délka ve vodorovném směru.

Modely byly zhotoveny v měřítku 1:50 z epoxidových desek tloušťky 10 mm - obr.1. Měřítko bylo zvoleno na základě všech faktorů, které je nutno při modelování brát v úvahu (jako např. okrajové podmínky, max. rozměry rovinného modelu, velikost jednotlivých diskontinuit apod.). Studované modelové systémy dle obr.1 představují nejjednodušší typ diskontinuálního systému, skládajícího se z homogenních pružných elementů stejných materiálových konstant. Na spárách působí pouze tření epoxidu na epoxid s koeficientem 0,25.

Modely byly zatěžovány na okrajích modelované oblasti jednak hydrostatickým tlakem ($\sigma_v/\sigma_w = 1$) a jednak meznimi (případně menšími) zatěžovacími poměry ve směru vertikálním ($\sigma_v > \sigma_w$) a horizontálním ($\sigma_v < \sigma_w$). Mezní zatěžovací poměr odpovídá teoretické mezi prokluzu na spáře podle Mohr-Coulom-



Doba snásornění.

VÝSLEDKY MĚŘENÍ

Ze snásených modelů byly zjištěny izokřivky maximálních smykových napěti jednotlivých elementů v okolí důlního díla a obvodová napětí na okraji důlního díla. Výsledky jedné varianty typu H5 pro zatěžovací poměr $\sigma_v/\sigma_w = 1$ jsou na obr.2.

Obdobně byly spracovány ostatní modelové varianty

typu H5 a typů I a H. Hodnoty maximálních napěti na okraji důlního díla (v I a III kvadrantu) a jejich poloha, definovaná úhly ψ_1 a ψ_2 - viz obr.2 - jsou pro měřené varianty dis-

kontinuálních typů I, H a H5 uvedeny v tab.1. Pro srovnání jsou v tabulce uvedeny též teoretické hodnoty v homogenním pružném prostředí za jinak stejných podmínek.

Z výsledků měření jsou nejdůležitější následující zjištění: a) Distribuce napěti v okolí důlního díla má v diskontinuálních systémech značně rozdílný charakter oproti kontinuálnímu prostředí. Obvodová napětí na okraji důlního díla jsou výrazně ovlivněny geometrií systému, zejména sklonem průběžných spár ke směru většího zatížení a dále zatěžovacím poměrem, spjatém s třením mezi průběžných spárách. Tlaková maxima na okraji kruhového díla mají pro zatížení $\sigma_v/\sigma_w = 1$ směr přibližně kolmý na průběžná spáry, pro ostatní zatížení se stáčejí buď k horizontální ($\sigma_v > \sigma_w$) nebo vertikální ($\sigma_w > \sigma_v$) osy.

b) Napjatost a chování systému (zejména typů H a H5) je určována kromě zatěžovacího poměru s sklonem průběžných spár ještě dalšími faktory, které mohou základní chování a napjatost systému výrazně ovlivnit. Jsou to jednak individuální drobné rozdíly elementů a zejména reakční faktory struktury, jsko je změna geometrie způsobená prokluzami a zablokováním, rotaci efekt jednotlivých elementů apod., které jsou kromě jiného závislé na jejich tvaru a orientaci. Přitom možnost

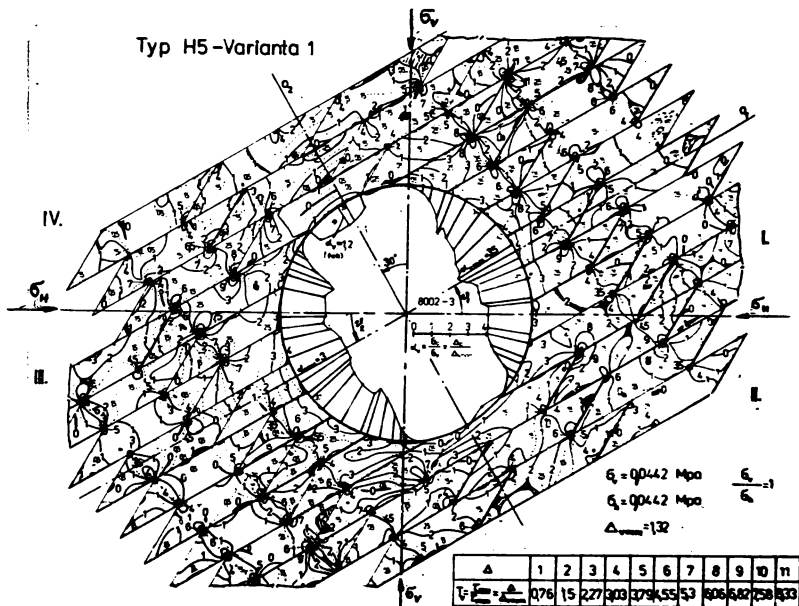
Typ	Stojan průběžná spára	Zatížení modelu	Počet a velikost tlak. maxim. σ_v						Teor. hodnoty	
			$\sigma_v/\sigma_w = 1$	$\sigma_v/\sigma_w = 1.5$	$\sigma_v/\sigma_w = 2$	$\sigma_v/\sigma_w = 3$	$\sigma_v/\sigma_w = 4$	$\sigma_v/\sigma_w = 5$		
I	60	1	60	60	29	29	29	29	0-360	2
		15	30	30	25	25	25	25	0	233
		:	52	75	29	25	25	25	0-360	2
H	60	171	40	40	21	25	25	25	0	242
		2°	70	70	23,98	22	90	90	25°	
		1	30	30	35	3	3	3	0-360	2
H5	30	2	154,2	154,2	35,44	35,44	0	0	25	
		UT	55	55	3	3	37	30	24,7	

Hodnoty v závorkách platí pro max. úhly $\psi_1 = \frac{\pi}{4}$, $\psi_2 = \frac{\pi}{4}$ ve stylku elementu

vzájemného pohybu elementů systému může vést k vytvoření zóny zvýšených kontaktních napětí až za obvodem kruhového díla (uvnitř masivu) a tudiž při porušení stability k vypsaďávání podstatně větších částí okolního prostředí do otvoru.

LITERATURA:

- /1/ Málek, J., Javornický, J.: Distribuce napětí v diskontinuálních horninových systémech v okolí kruhového důlního díla - část I. Výzkum.zpráva ÚGG ČSAV Praha, 1979
- /2/ Málek, J.: Distribuce napětí v diskontinuálních horninových systémech v okolí kruhového důlního díla - část II. Výzkumná zpráva ÚGG ČSAV Praha, 1980
- /3/ Mencl, V.: Klassifikation von festen Felssmassen, Bericht 10.Ländertr.IBG, Leipzig 1968, Akademie Verlag, s.122-125



Obr. 2